

H-2 重力式岸壁の地震時における安定性に関する研究(第一報)

運輸技術研究所港湾土質部 正員 ○ 石井靖丸

林 聰

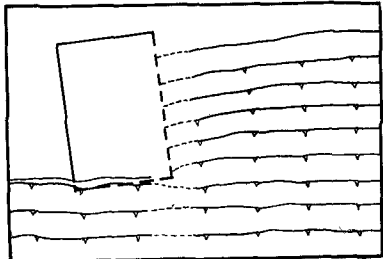
荒井秀夫

重力式岸壁の地震時における安定性に関する実験的試験を完了したのでその結果を報告する。振動台の詳細は別途論文を参照されたい。

重力式岸壁は (1)滑り出し、(2)最大端支压、(3)転倒、に対する設計である。外力を受けた壁体の合力が middle third 内に入ると場合は転倒が問題となることはない。

(A) 滑り出し及び最大端支圧による破壊状態を調べるために、二種の模型（高さ巾の比 $\frac{1}{3}$ 及 $\frac{1}{4}$ ）を用いて実験を行つたが滑り出しによる破壊は現象が割合に單純であるが巾の狭い場合は図-1に示すように振動当初は前傾の姿にあり、これが次第に著しくなつてゆくのがみられた。この際現象は非定常的であつて、壁体の最初の変位の起り方がその後の現象を支配してくることわかる。この種の破壊は地震による被害の典型的を率とよく一致している。

図-1



(B) 壁体の振動による変位をしらべるために砂層上に壁体を置き、轟き止めせずに実験を行つた。砂層の厚さは 30 cm を dense 及び loose の 2 状態、壁体は鋼製のもので、巾、高さが $20\text{cm}/30\text{cm}$, $30\text{cm}/30\text{cm}$ 及び $31\text{cm}/52\text{cm}$ 、重量は cm^2 当り 60 gr., 120 gr. 及び 240 gr. の 3 種類である。壁体の基礎破壊 (base failure) は図-2 に示すように 4 種類に分けることができる。
(1) 壁体 ($31\text{cm}/52\text{cm}$, $p_0 = 240 \text{gr/cm}^2$) 加重 $<$ loose sand の場合は深々にリーフ punching shear の様子を示し、往々の静荷重の場合に似て、それが現象としては壁体が次第に砂層中に沈没してやく感じにみえる。(100gal～)。
(2) 壁体がやゝ重く ($20\text{cm}/30\text{cm}$, $p_0 = 120 \text{gr/cm}^2$)、loose sand の場合、非常に深々にリーフ面に破壊し、横凹凸がりの形でみられる。図-3 からこの深々にリーフの傾向がよくみられる。(250gal～350gal)。
(3) 壁体が軽く巾が広く ($30\text{cm}/30\text{cm}$, $p_0 = 60 \text{gr/cm}^2$)、dense sand の場合は 500 gal 程度迄ほとんどの変化なく、2 m 以上では砂層中にはめり込んでゆく。これは図-2 の (2) に示すリーフ面によると思われる壁底部の中間からリーフ面が出ていることがよくわかる。この小方として之をリーフ破壊 (wedge in failure) といふ感じである。
(4) 壁体が軽く巾の狭い ($20\text{cm}/30\text{cm}$, $p_0 = 60 \text{gr/cm}^2$)、dense sand の場合

図-2

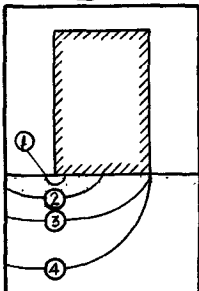
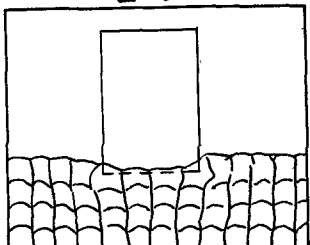
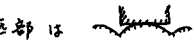


図-3



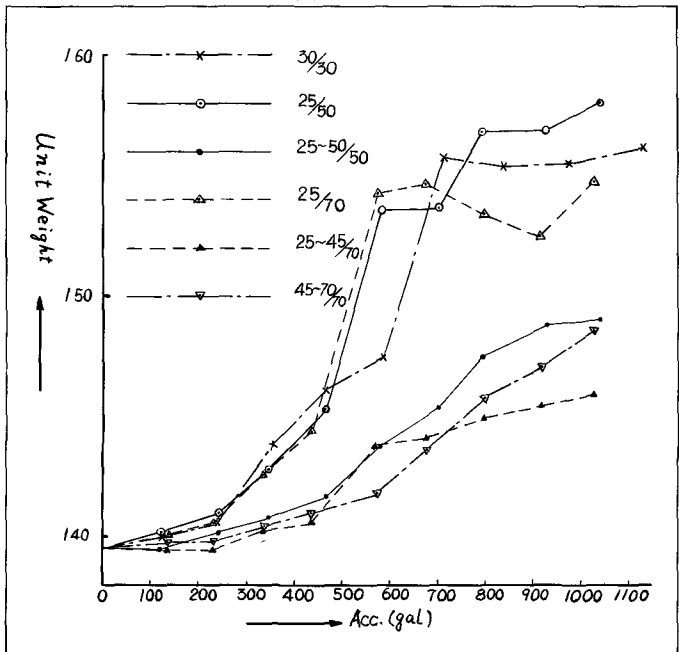
先づ壁体の端が沈下し(局部破壊) 底部は  の形になるためにはげしくロッキングを起す。このロッキングが加速度の増加と共にほげしくなると砂層中に生ずるみ振れのある壁体のような形になり、このロッキングは小さくなるか加速度が増加する上再びロッキングを始め、これを繰返していく。

以上が基礎破壊の大体の傾向であるが、base failure は静荷重の場合に較べて浅いに亘り面が起り、壁底面の中間から起る場合、又底端部のに亘りに至る局部的沈下が現れる支配的であることもありうるといえる。これを既に偏心傾斜荷重に対するに亘るの起り方を論じたときに見出した二通りあるが、基礎に亘りに亘してはこれらの現象に加之て振動中にあつる砂の運動もこれに参照ある大きさを要素と思われる。一方破壊時ににおける最大端支圧は $100 \sim 300 \text{ kg/cm}^2$ を静荷重に対する $\phi = 30^\circ \pm 1^\circ$ Terzaghi の公式から求まる値 $1,120 \text{ kg/cm}^2$ (11 ton/m^2) に較べて著しく小さい。

(C) 振動中ににおける砂の運動

振動台上に厚さ 30cm , 50cm , 70cm の三種に砂をつめ深さ方向の加速度分布及ぶ砂の密度変化を測定した。振動台加速度と砂の密度変化を密約して示したもののが図-4 である。初期密度は 1.40 附近でやゝ loose を状態である。(1)砂層の上層 $25 \sim 30\text{cm}$ の区間に亘る密度增加はそれ以下の層に較べて大きく、特に 400 gal 以上では甚だしい。(2)上層部分の砂の加速度に対する密度增加は半段階に分けられ、 250 gal 程度迄は緩慢であり、 $250 \sim 450 \text{ gal}$ ではやゝ増大し $450 \sim 550 \text{ gal}$ で著しく増加する。これは水平加速度によつて砂粒子に加わる水平力が後に述べるようにならに砂の水平剪断抵抗を越すためで、砂は流動化するものと思われる。この区間では砂は流体的性質を示す。 550 gal 以上になると密度変化はほとんどみられない。これは安定した砂の流動現象とみなすことができる。二十に反して 30cm 以下の層の密度增加は 450 gal 程度迄は非常に緩慢であり、それ以上ではやゝ増加度加大する。これは興味のあることは加速度が大きくなつて後流動化の現象が起つて、このことである。そして加速度が大きい場合、図-5 にみられるように下方に凸型の境界面(一種のにり面?)がみられ、この境界面以上の層の砂は流動化しない以下の砂層とは流動化しない。これは棒を表面から押しこんでみると流動化した部分

図-4



諸河等推進を示す事より或る深さ以下では強い抵抗を示すことは容易にわかる。この流動化しない層は上部から下部にかけて下層の砂は四側面及底面に固まり、又上面は上層の砂のために砂の運動は自由度がない。しかも砂が流動化するためには水平方向の剪断抵抗が水平加速度による水平力以下でなければならぬ。したがってもし砂が振動によつて非常に密になつて剪断抵抗を増す傾向に減少が流動化は起らなければものと思われる。

次に小型加速度計 ($6.7\text{ cm} \times 5.8\text{ cm} \times 1.3\text{ cm}$) を砂層中央部の深さ方向に配列して測定した結果を図-6に示す。砂層中の加速度は振動台の加速度を増加させ3回にわたり次第に増大し

図-5

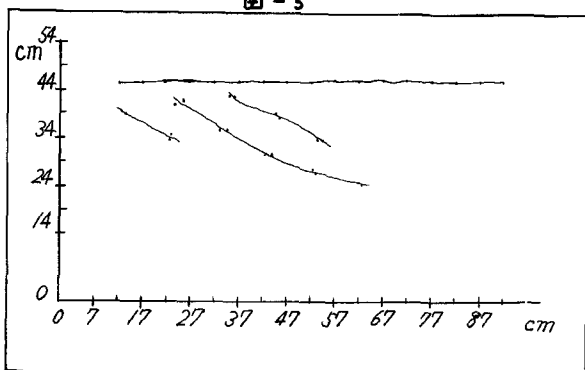
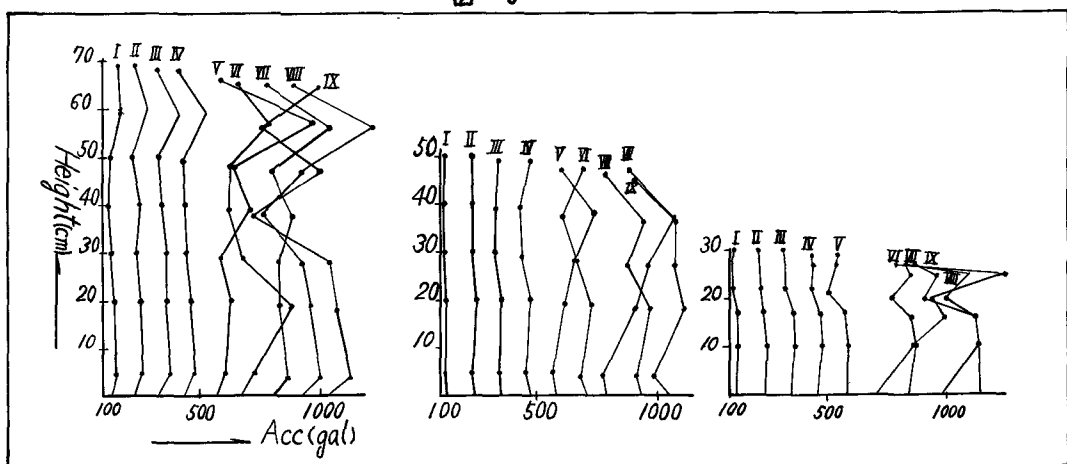


図-6



台の加速度が一定状態に入ると、加速度はやく減少して通常状態になる。この図には砂層中に生じた最大加速度を示してある。併れの場合でも 500 gal 以下では台の加速度の 10% 内外の差がみられず、特に変つたことはない。したがつて 450 gal 程度迄は砂は振動台と同じような運動をしてみると考えられ、加速度の記録と振動台の記録との間の位相の差のはほとんどないことがからも肯定しうる。然しながら振動台加速度が 500 gal 以上になると状況は完全に變つてしまふ。これは砂の密度増加度の急変するところによく対応し、この加速度附近から砂の運動状況が完全に變る。この意味で 450 gal 附近の加速度を限界加速度と名づけよう。(critical acceleration for liquefaction) 限界加速度以上では加速度分布は非常に乱雑にみえるが、大体の傾向としては、ヒリ面以上の点で加速度が急激に大きくなり、ついで加速度が減少し、又増加するという現象を示してゐる。この加速度の増大は一種の剪断振動的増大をなし、つ

“この剪断力が極大に達し、剪断力の伝達がゆるく加速度が減少するときも若しくなるのが今と二つよくわかる事”。砂が液動化してくると、下層から剪断力による力の伝達がほとんどなくなり、上層の液動化した部分は境界面の両側から交番圧縮をうけて振動音を生じる。振動の状態は変つてくる。(表面の加速度は加速計に讀ってみると思われるほどよくわかる)。

以上の実験によつて、液動化した部分としない部分の運動の根本的には思ふことは、又壁面の変位及び砂の性質等によつて、この液動状態が黒づくことか予想しうる。しかし、この限界加速度の上下には問題の取扱い方が黒づくことはわからず、岸壁の問題では海水の浮力のために水中では見掛けの密度が0.4以上に当ることには決して稀ではない。したがつて限界加速度の問題は極めて重要な事。

次に参考迄に振動曲線の側面に土压計をとりつけ測定した結果を掲げよう。実験は2種類で50cm厚の砂層中表面から29cmの個所及び30cm厚の砂層中表面から10cmの点で測定した。表記は静止土压と振動後の静止土压及心物部一端部式($\delta=0$, $\phi=30^\circ$)による土压振巾の計算値と測定値の比較を行つた。

$29\text{cm}/50\text{cm}$ の場合

台加速度(gal)	0	110	220	330	440	550
土压振巾(ft/cm^2)	測定値	Max.	3.9	8.5	18.0	33.4
		Min.	5.8	13.2	13.2	24.4
	計算値	14.2	4.9	9.9	15.8	22.6
静止土压(ft/cm^2)		9.8	14.8	17.0	18.7	16.0
						17.7

$10\text{cm}/30\text{cm}$ の場合

台加速度(gal)	0	110	220	330	440	550
土压振巾(ft/cm^2)	測定値	1.9	5.3	7.2	22.2	scale out
	計算値	4.7	1.6	3.3	5.3	7.5
静止土压(ft/cm^2)		3.6	4.9	5.3	3.0	6.6
						7.2

以上の測定値は今後の精密な測定によつて来るとは思われるが、29cmの深さのものでは物部一端部式による計算値よりやゝ小さいかよく対応してゐる。10cmの深さでは300gal以上では測定値が著しく大きくなり、松尾教授の実験の傾向とよく似てゐる。これは250～450galの間でやゝ砂の密度増加のはなしの点が多少のとよく対応してゐる。以上は前述の実験の大要を報告する。